

「農産物性科学（2）」主な図

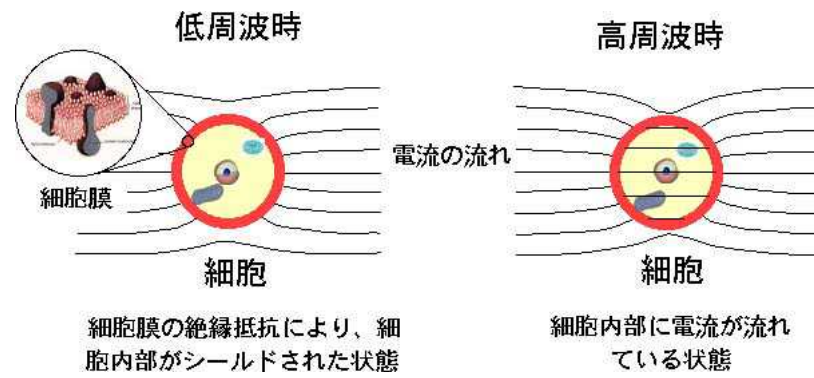


図 2.6 Maxwell-Wagner 効果

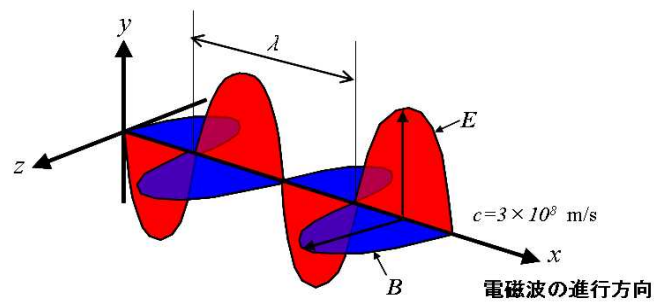


図 3.2 電磁波の伝播

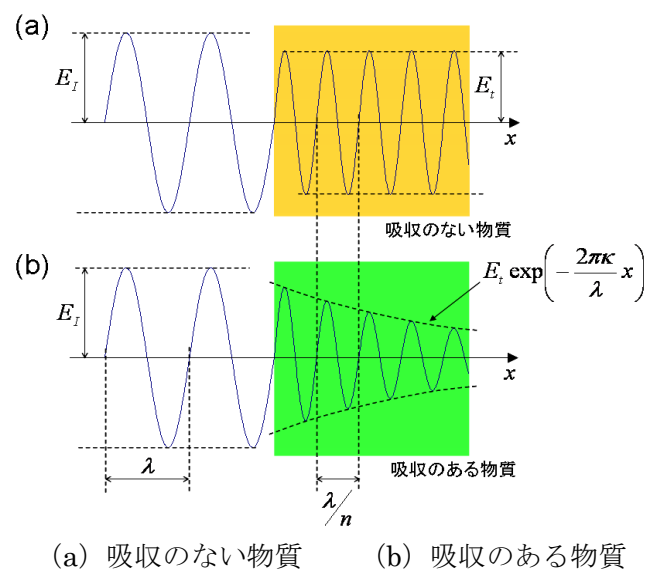


図 3.3 物質中を伝搬する電磁波の様子

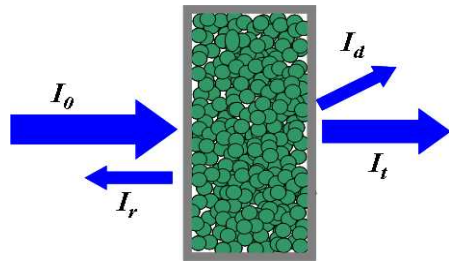


図 3.4 物質に入射された電磁波の様子

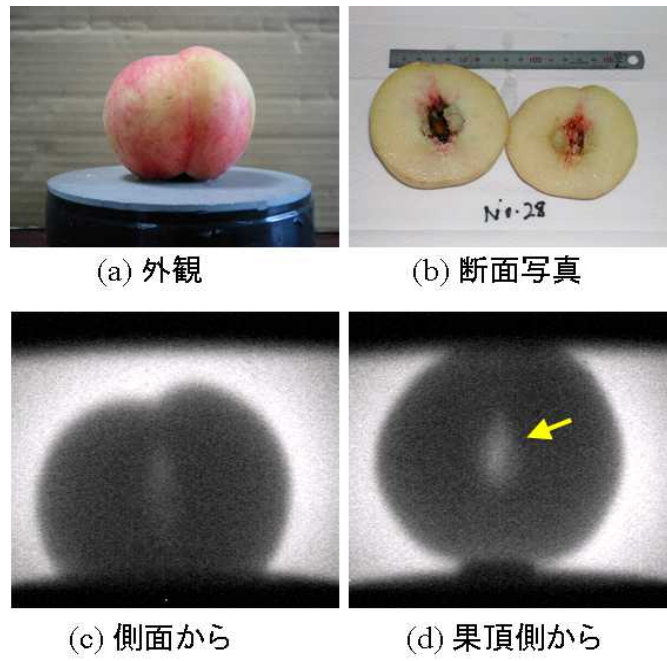
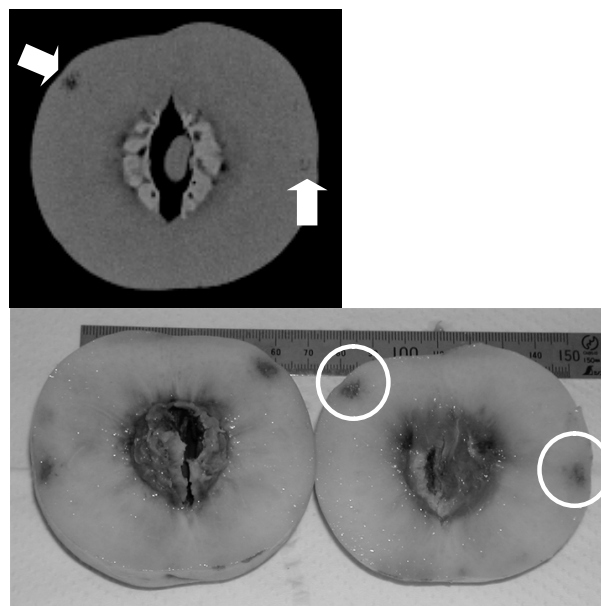
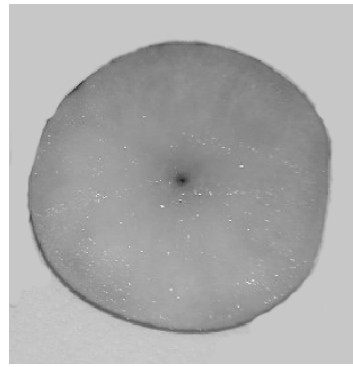
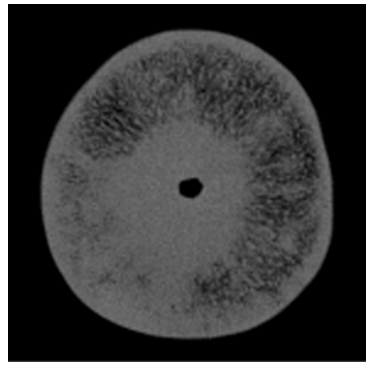


図 3.17 X線透過画像によるモモの核割れ診断の様子



(a) X線 CT 画像 (b) 目視検査時の様子

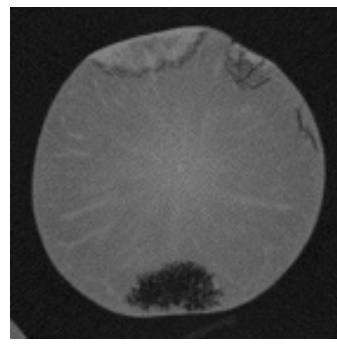
図 3.19 モモの核割れと打ち傷



(a) X線 CT 画像

(b) 断面写真

図 3.20 みずみずしさを失ったナシの果肉



(a) 断面写真

(b) X線 CT 画像 (図 (a) 破線部を輪切りにした様子)

図 3.21 害虫による障害を受けたリンゴ

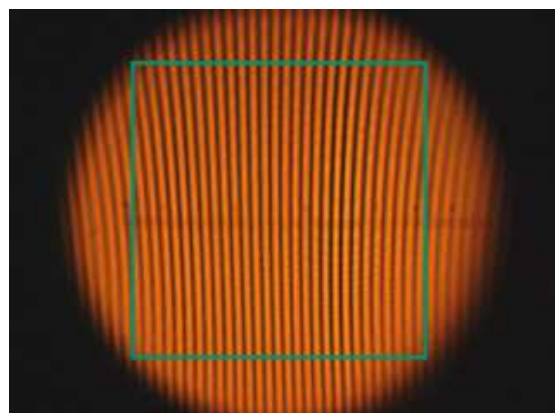
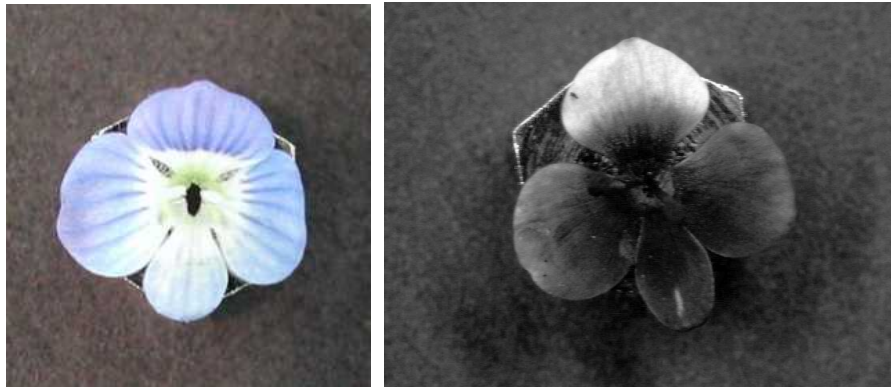


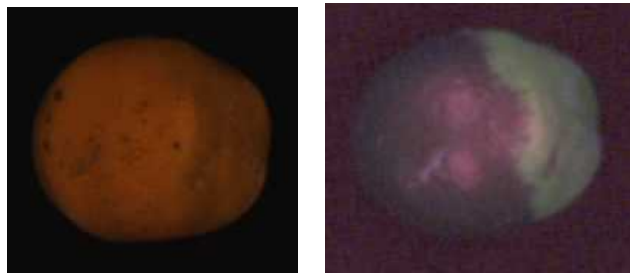
図 3.30 レンズの焦点面にできるインターフェログラム
(四角枠内が CCD 受光部)



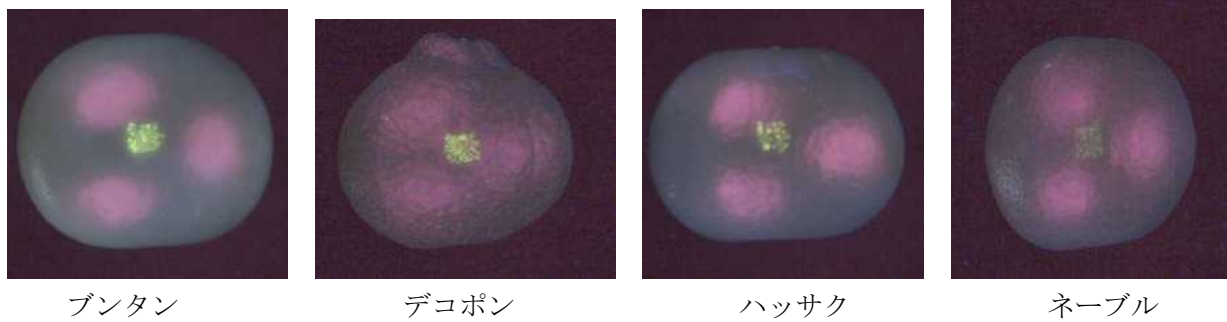
(a) 可 視

(b) 紫 外

図 3.32 イヌノフグリの可視領域および紫外領域での画像の違い



南柑 20 号



ブンタン

デコポン

ハッサク

ネーブル

図 3.36 右半球が腐敗した温州ミカン（上列）と各種のカンキツ果実の蛍光画像
（下列，赤道部，1cm×1cm の油胞を損傷）



図 3.37 明るい赤が鮮度の劣化した米粒の蛍光画像，品種：きらら 397

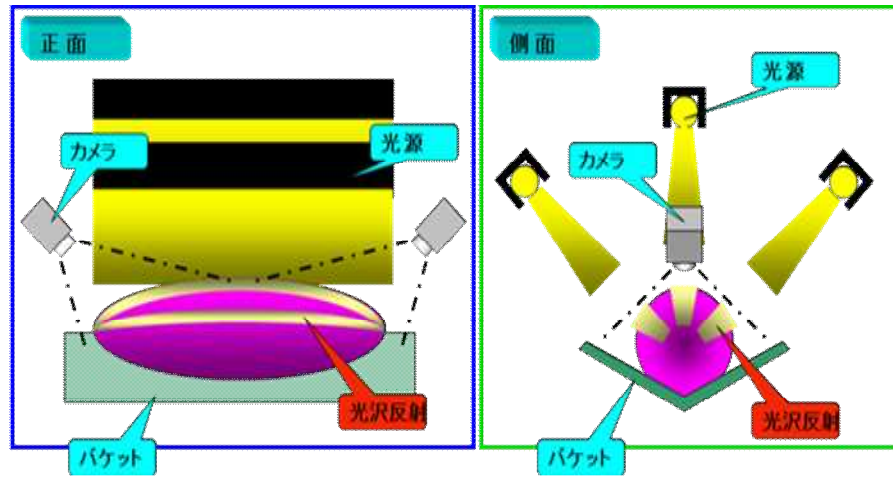
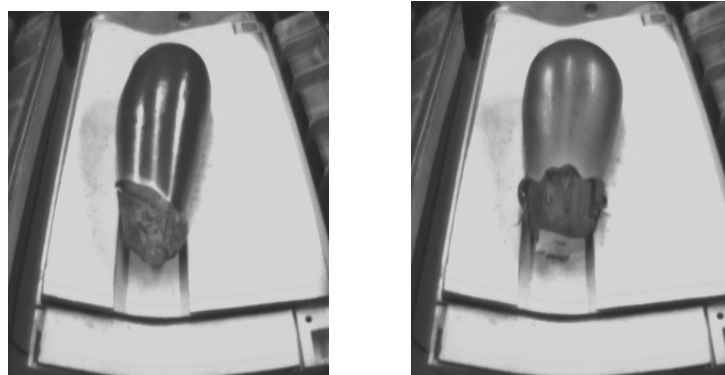


図 3.43 ナスの光沢計測装置



(a)

(b)

図 3.44 光沢の強い果実 (a) と弱い果実 (b)

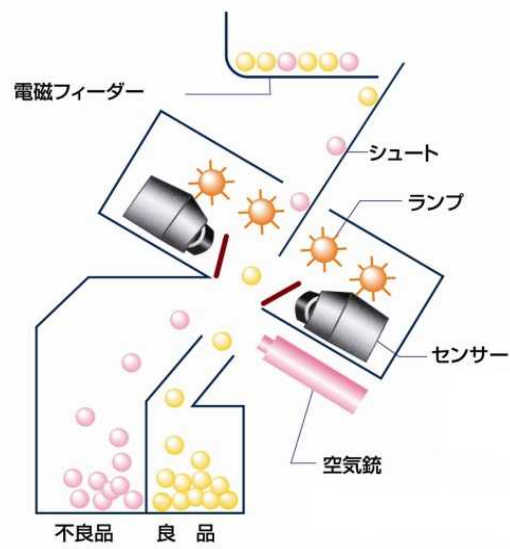
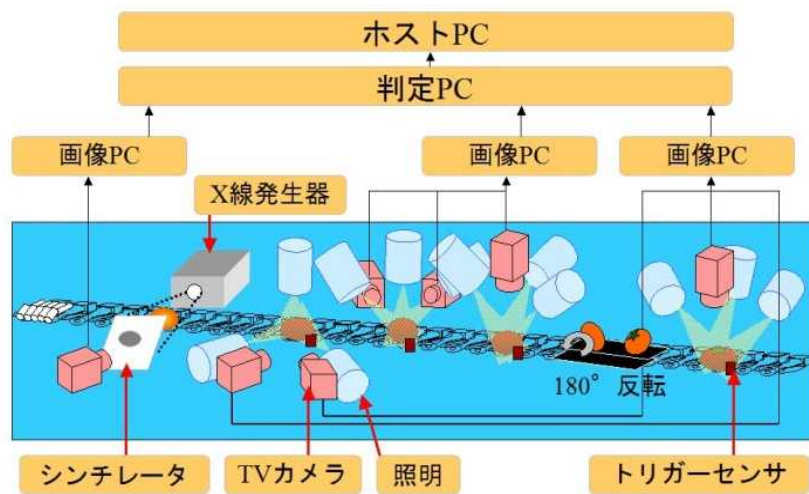


図 3.48 穀類の色彩・異物選別機の選別部の基本構造 (出典：安西製作所)



(a) 外観



(b) カメラ配置

図 3.49 カンキツ果実選別システム

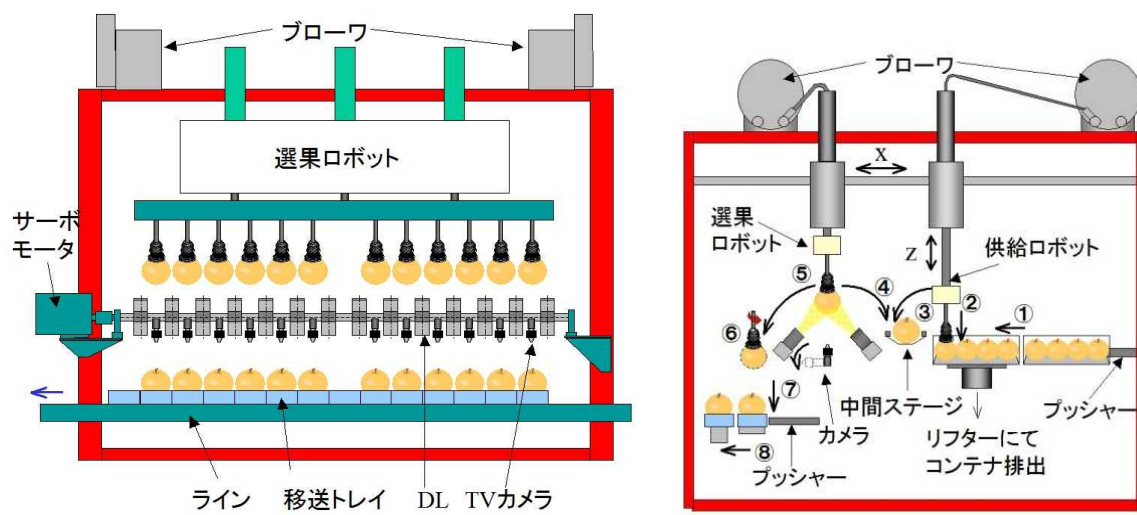


図 3.50 モモ、ナシ、リンゴなどの選果ロボットのシステム図

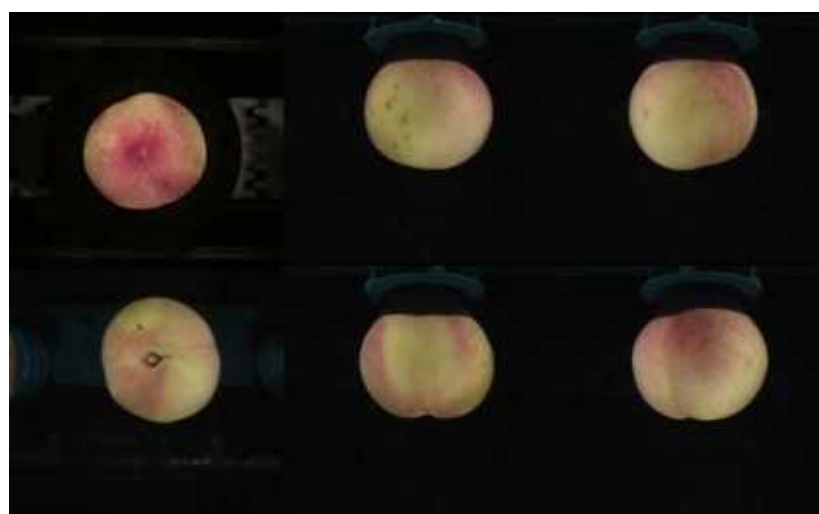


図 3.51 選果ロボットによるモモの入力画像

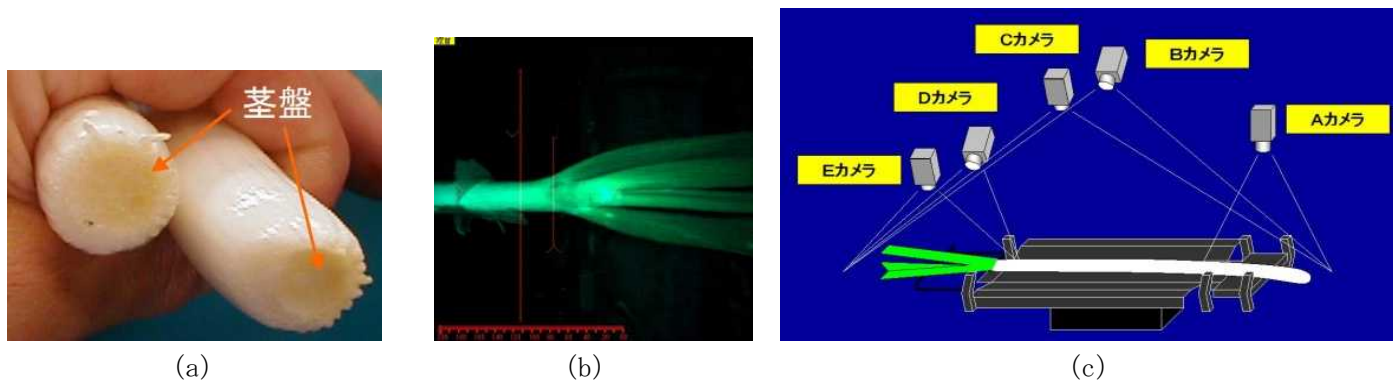
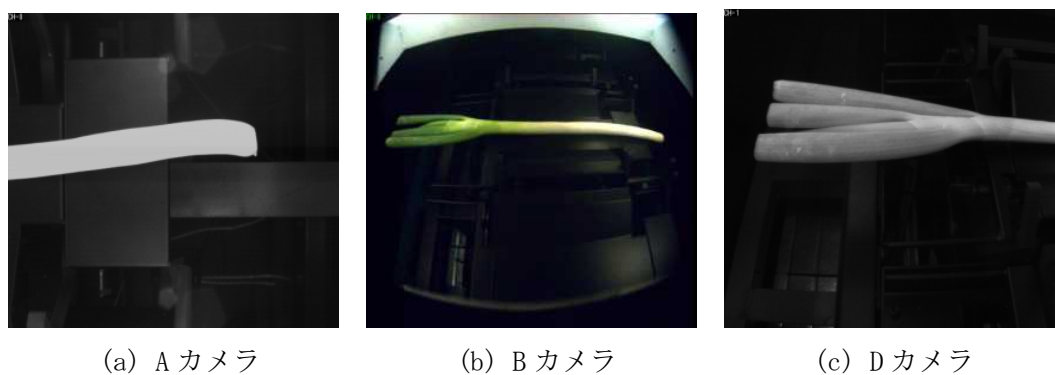


図 3.53 長ネギの茎盤と襟位置合わせのための画像ならびに選別用カメラ配置 (エスアイ精工株)



(a) Aカメラ

(b) Bカメラ

(c) Dカメラ

図 3.54 長ネギの選別工程画像例

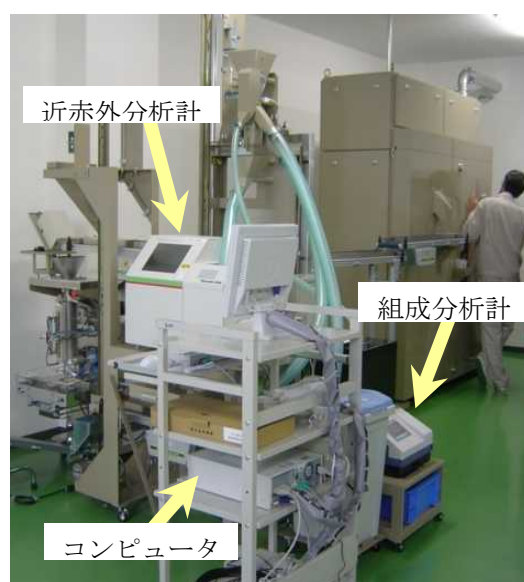
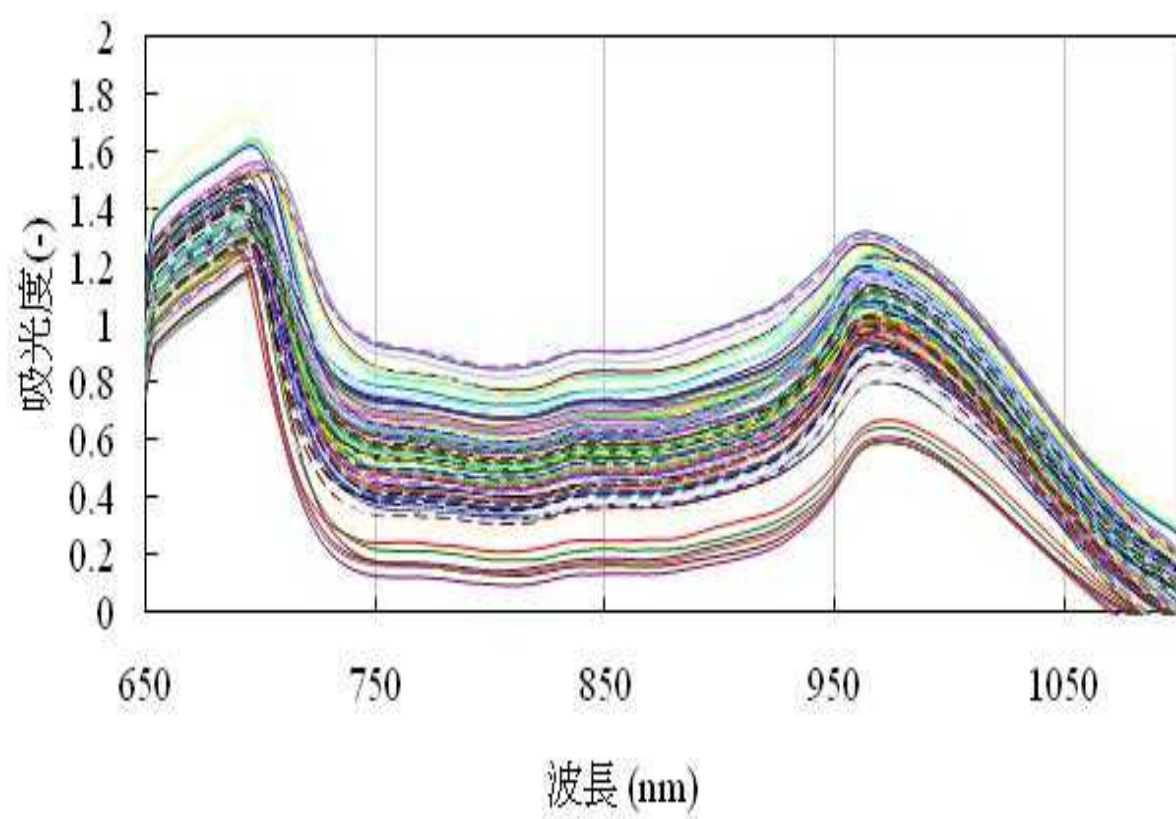
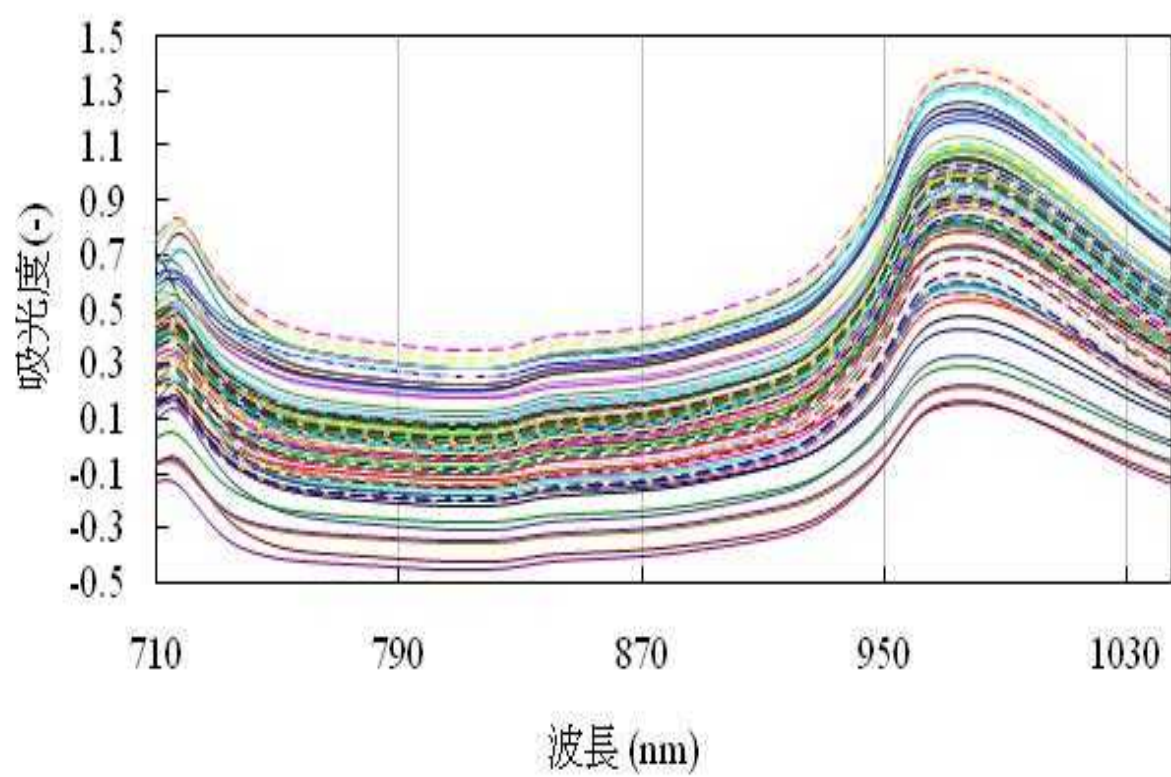


図 3.78 近赤外分析計と組成分析計を組み合わせた米の自動品質判定システム



(a) YUPE



(b) SOMA

図 3.81 試料のスペクトル

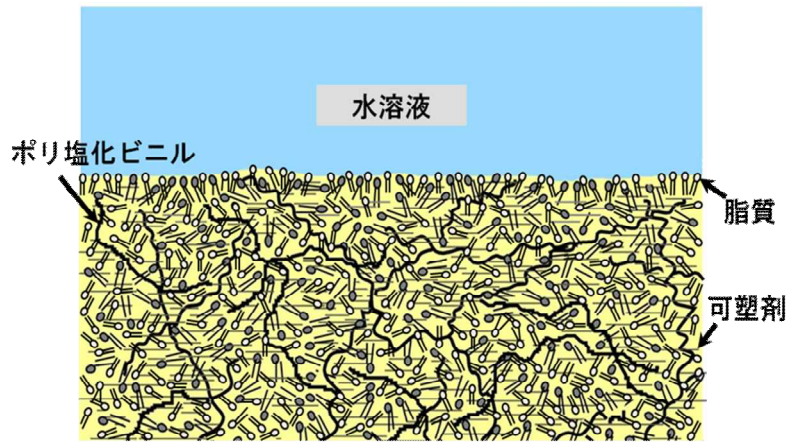


図3 味覚センサの受容膜(脂質/高分子膜)の模式図

図 4.3 味覚センサの受容膜 (脂質/高分子膜) の模式図

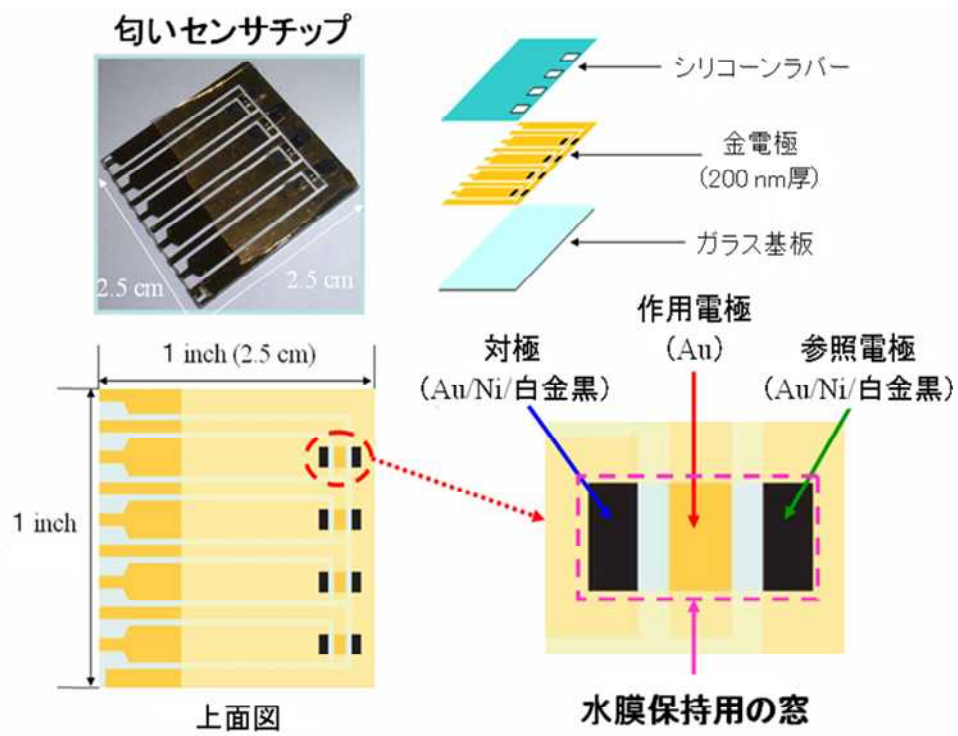


図3 表面分極制御法を利用した匂いセンサチップ

図 4.13

以 上